

مروزه بر روش‌های تحلیل، کنترل، پیاده‌سازی و ارزیابی محرکه‌های موتورهای DC بدون جاروبک

ابوالفضل حلوانی نیاسر

استادیار دانشکده مهندسی برق و کامپیوتر، دانشگاه کاشان، کاشان، ایران

halvaei@kashanu.ac.ir

چکیده:

امروزه با توجه به گسترش روزافزون کاربرد موتورهای الکتریکی در بخش‌های خانگی، تجاری و صنعتی، برای مصرف بهینه انرژی الکتریکی، طراحی و ساخت موتورهای الکتریکی پربازده و محرکه‌های سرعت متغیر مربوط، مورد توجه زیادی قرار گرفته است. در این بین، موتورهای DC بدون جاروبک (BLDC)¹ به دلیل مزایای فراوان نظیر بازده بالا، چگالی توان و گشتاور زیاد، سهولت در کنترل، روش ساخت ساده، قابلیت اطمینان بالا و نگهداری کم‌هزینه‌تر، طی دو دهه اخیر در کاربردهای مختلف مورد استفاده قرار گرفته‌اند. این موتور از جهت ساختمان شبیه موتور سنکرون آهنربای دائم است، اما به سادگی موتور DC قابل کنترل است. این ویژگی‌ها سبب شده است تا اقبال بسیار زیادی به استفاده از این موتورها در طیف وسیعی از کاربردها نشان داده شود. این مقاله با هدف کمک به توسعه و ترویج استفاده از این موتورها در کاربردهای مختلف صنعتی و نیمه‌صنعتی، مروزی به جنبه‌های مختلف موتورهای BLDC شامل ویژگی‌ها، مدل‌سازی، اینورترهای مورد استفاده و تحلیل روش‌های مختلف کنترلی و در نهایت به بیان نکات پیاده‌سازی محرکه موتور BLDC می‌پردازد. مزایا و معایب روش‌های مختلف کنترلی موتور BLDC، نکات مربوط به استفاده از روش‌های کنترل بدون حسگر، مؤثر بودن روش‌های کاوش ضربان گشتاور² ناشی از کموتاسیون و کنترل در ناحیه کاوش شار برای یک موتور BLDC با جزئیات بیشتری توصیف می‌شوند. در نهایت در خصوص استفاده از روش‌های فوق در یک محرکه تجاری موتور BLDC پیشنهاداتی ارائه می‌شود.

واژه‌های کلیدی: صرفه‌جویی در انرژی، بهره، موتور BLDC، محرکه (درایو) الکتریکی، اینورتر، مدل‌سازی، کنترل، بدون حسگر، کاوش شار، ضربان گشتاور.

1. Brushless DC
2. Torque Ripple

۱. مقدمه

BLDC را در دستور کار قرار داده‌اند. کاربردهای بسیار دیگری هستند که سازمان‌های مختلف نظیر اداره استاندارد ایران، سازمان بهره‌وری انرژی و وزارت‌خانه‌های مسئول در حوزه تولید و مصرف انرژی، استفاده از درایوهای سرعت متغیر را برای شمار بسیاری از کاربردها توصیه کرده‌اند.

موتورهای الکتریکی مورد استفاده در صنایع و کاربردهای غیرصنعتی اغلب از نوع DC یا AC نوع القایی هستند. موتورهای DC علی‌رغم خواص مطلوبشان نظیر سهولت در کنترل و مشخصه گشتاوری-سرعت مناسب، به‌دلیل دارا بودن کوموتاتور و جاروبک و نیاز به تعمیرات دوره‌ای و نگهداری پرhzینه، جایگاه خود را به سایر موتورها داده‌اند. استفاده از موتورهای AC القایی علی‌رغم افزایش بهره‌وری ناشی از به‌کارگیری روش‌های کنترل سرعت متغیر که جایی برای موتورهای DC باقی نگذارداند، در بسیاری از کاربردها فاقد بهره و کیفیت عملکرد مناسب هستند. طی دو دهه گذشته و با کاهش قیمت مواد آهن‌ربای دائم، طراحی و ساخت موتورهای بدون جاروبک آهن‌ربای دائم (PMBL)^۲ و استفاده از آن‌ها در کاربردهای توان پایین گسترش چشمگیری یافته است. از دلایل رویکرد مثبت به این نوع موتورها می‌توان به ویژگی‌های ممتازشان نظیر بهره بسیار زیاد، چگالی توان و گشتاور بالا، هزینه نگهداری پایین، ساختار ساده و روش کنترل آسان اشاره کرد. این موتورها به دلایل فوق، ابتدا در کاربردهای دقیق و عملکرد بالا نظیر حمل و نقل الکتریکی، هوافضا و صنایع نظامی مورد توجه قرار گرفتند. اما اخیراً به‌دلیل نیازهای جدید در کاربردهای خانگی، نیمه‌صنعتی و صنعتی و همچنین کاهش چشمگیر قیمت، کاربردشان گسترشی بی‌سابقه یافته است [۱]. این موتورها به دو دسته آهن‌ربای دائم سنکرون (PMSM)^۳ و DC بدون جاروبک (BLDC) تقسیم‌بندی می‌شوند. استفاده از موتورهای BLDC در بسیاری از کاربردها به‌دلیل سهولت در کنترل و سادگی سخت‌افزار موردنیاز، رواج بیشتری یافته است. هدف از این مقاله، بررسی جنبه‌های مختلف استفاده از موتورهای BLDC و ذکر پیشرفت‌های صورت‌گرفته در حوزه کنترل این دسته از موتورهای سرتاسری است. در ادامه مقاله، پس از بیان اصول عملکرد موتور BLDC، چگونگی مدل‌سازی موتور و محرکه آن بیان می‌شوند. پس از آن، انواع اینورترهای مورد استفاده در محرکه آین موتور و روش‌های مختلف کنترل این موتور بیان می‌شوند. سپس روش‌های کنترل بدون حسگر این موتور جهت حذف حسگرهای موقعیت در این موتور بیان می‌شود. موضوعات کاهش ضربان گشتاور، کار در سرعت‌های بالا و همچنین نکات پیاده‌سازی

امروزه بهینه‌سازی و صرفه‌جویی در مصرف انرژی، از دو دیدگاه اقتصادی و زیست محیطی قابل بحث است. بهینه‌سازی مصرف انرژی به معنای استفاده از تجهیزات الکتریکی، با حداقل انرژی مصرفی و حداقل بهره‌وری است. موتورهای الکتریکی امروزه به عنوان یکی از عمده‌ترین مصرف‌کنندگان توان الکتریکی شناخته شده‌اند. حدود ۴۰٪ انرژی الکتریکی تولیدی در ایران توسط موتورهای الکتریکی مصرف می‌شود و این رقم در مقیاس جهانی به حدود ۶۵٪ درصد می‌رسد. بهینه‌سازی مصرف انرژی توسط موتورها با طراحی موتورهای عملکرد بالا و طراحی سیستم‌های تغذیه و مبدل مناسب برای موتورها قابل حصول است. تلاش جهانی در هر دو زمینه فوق، به سرعت در حال انجام است و نتایج آن عبارت‌اند از: ۱. طراحی موتورهای الکتریکی با حداقل بهره، حداقل ملزمات کنترلی و قیمت مناسب نظیر موتورهای آهن‌ربای دائم؛ ۲. طراحی سیستم‌های کنترل دور متغیر و محرکه‌های (درایوهای) الکتریکی^۱ برای انواع مختلف موتورها؛ ۳. استفاده از محرکه‌های الکتریکی در اغلب کاربردهای صنعتی، نیمه‌صنعتی و لوازم خانگی.

مطالعات انجام شده در صنایع ایران، حکایت از وضعیت نابسامان انتخاب و بهره‌برداری از موتورهای الکتریکی دارد. براساس این تحقیقات، اغلب موتورها بزرگ‌تر از میزان نیاز انتخاب شده و در شرایط نامناسبی بهره‌برداری می‌شوند. استفاده از موتورهای با بهره بالا در ایران رایج نبوده و گزارش مؤثری در مورد استفاده از محرکه (درایو) جهت صرفه‌جویی در مصرف انرژی در دست نیست. کاربردهای صنعتی بسیاری می‌توان یافت که موتورها در بهره بسیار پایین تر از مقدار حداقل قرار دارند. با استفاده از درایوهای الکتریکی می‌توان بخش زیادی از سرمایه‌های هزینه‌شده در بخش انرژی را صرفه‌جویی نمود. خوشیختانه در بخش تجهیزات الکتریکی خانگی، استفاده از موتورهای الکتریکی با بهره بالا و سیستم‌های دور متغیر درایوهای الکتریکی طی چند سال اخیر، رشد بی‌سابقه‌ای داشته است و بسیار مورد توجه سازندگان و مصرف‌کنندگان این‌گونه تجهیزات است. برای مثال، استفاده از موتورهای DC بدون جاروبک در تجهیزات تهويه مطبوع، کولرهای گازی و ماشین‌های لباسشویی مورد استفاده در ایران که البته اغلب ساخت شرکت‌های خارجی هستند، صرفه‌جویی در مصرف انرژی در حد ۷۰ درصد ایجاد کرده است. همچنین برخی سازندگان داخلی تجهیزاتی با استفاده بسیار زیاد نظیر کولرهای آبی، تولید محرکه‌های سرعت متغیر با استفاده از موتورهای

2. Permanent Magnet Brushless Motor
3. Permanent Magnet Synchronous Motor

1. Electrical Drive

تفاوت سیم پیچی استاتور یک موتور BLDC با موتورهای القایی و PMSM آن است که در موتور BLDC سیم پیچی مت مرکز بوده یا به صورت یکنواخت توزیع می شود، ولی در سایر موتورهای AC توزیع سیم پیچی حتی الامکان نزدیک به سینوسی است. درنتیجه ولتاژهای القاشده در سیم پیچ های استاتور (ولتاژهای ضد محرک) به شکل ذوزنقه ای هستند. شکل (۲-الف) تغییرات ولتاژهای ضد محرک در موتور BLDC سه فاز را نشان می دهد [۲].

برای ایجاد گشتاور ثابت در موتور BLDC جریان در هر فاز موتور زمانی جاری می شود که ولتاژ ضد محرک آن فاز در حد اکثر مقدار خود قرار داشته باشد. تشخیص این زمان توسط حسگرهای اثرهال انجام می شود که سیگنال های آنها در شکل (۲-د) نمایش داده شده اند. همچنین مطابق شکل (۲-الف) در هر لحظه از زمان، جریان ایجاد شده تنها در دو فاز جاری است و فاز سوم خاموش است. جریان ایجاد شده در هر فاز در بازه های زمانی ۱۲۰ درجه مقدار ثابتی دارد و مطابق شکل (۲-الف) جریان هر فاز به شکل شبیه مربوطی است. حاصل ضرب ولتاژ ضد محرک هر فاز در جریان آن فاز برابر با توان فاصله هوایی است که با تقسیم آن بر سرعت روتور، گشتاور متناظر با آن فاز به دست می آید. شکل (۲) گشتاور هر فاز و گشتاور کل موتور BLDC را نشان می دهد. گشتاور هر فاز در بازه های ۱۲۰ درجه ای مقدار ثابتی دارد و درنتیجه، گشتاور الکترو مغناطیسی لحظه ای مجموع همانند گشتاور موتور DC ثابت است [۳].

شکل موج های جریان و گشتاور نشان داده شده حالت عملکرد ایده آل موتور را نشان می دهد، ولی در عمل به خاطر تأخیر فاز ایجاد شده توسط اندوکتانس های استاتور، جریان ها و گشتاور موتور در نقاط تغییر جریان (نقاط کم تاسیون^۱) ضربان یا اعوجاج دارند که در بخش های بعد تحلیل می شوند.

۳. مدل سازی موتور BLDC

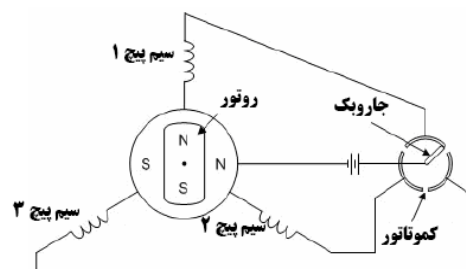
برای تحلیل عملکرد موتور BLDC در شرایط کاری مختلف، مدل دینامیکی کاملی از موتور و درایو آن موردنیاز است. با بهره بردن از نرم افزارهای بر مبنای المان های مداری نظریه Pspice و Saber و Drayio موتور BLDC به طور واقعی مدل می شود [۴]. اما مدل های عناصر به کار رفته در این نرم افزارها شامل توابع غیر خطی با بخش های نمایی بوده که زمان اجرای برنامه را طولانی می کنند. برای رهایی از مشکلات فوق، به جای استفاده از مدل واقعی عناصر مداری می توان

درایو این موتور در ادامه آورده می شوند و بخش آخر نیز به نتیجه گیری اختصاص دارد.

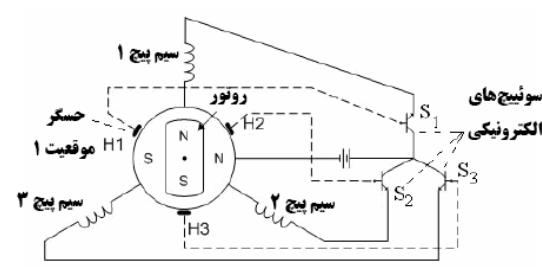
۲. اصول عملکرد موتور

برای معرفی بهتر موتور BLDC، بهتر است وجه تشابه و افتراق آن با دو موتور DC و PMSM توضیح داده شود. شکل (۱-الف) یک موتور DC با سه سیم پیچ در آرمیچر ساکن همراه با آهن ربای دائم دوار به عنوان تحریک را نمایش می دهد. کمotaتورها ثابت بوده و جاروبک می چرخد. اگر به جای جاروبک و کمotaتور که به عنوان کلید مکانیکی قطع و وصل جریان در فازها عمل می کنند، از سه سوئیچ الکترونیکی استفاده شود و زمان قطع و وصل جریان در فازها نیز توسط سه حسگر موقعیت که به فاصله ۱۲۰ درجه از یکدیگر قرار دارند، تشخیص داده شود، موتور BLDC پایه ای (با جهت جریان یک طرفه یا نیم موج) به دست می آید که در شکل (۱-ب) نشان داده شده است.

موتورهای BLDC تجاری، اغلب به صورت سه فاز طراحی و ساخته شده اند. این موتور دارای روتور آهن ربای دائم همانند موتور PMSM بوده و استاتور آن نیز دارای سیم پیچی توزیع شده سه فاز همانند استاتور موتورهای القایی و سنکرون است. سه حسگر موقعیت اثرهال نیز به فاصله ۱۲۰ درجه الکتریکی از یکدیگر و بین سیم پیچ های یک سری از قطب های استاتور و در مجاورت روتور قرار دارند و با هر بار تغییر قطب روتور از مقابل آن، سیگنال خروجی اش تغییر حالت می دهد.



(الف) موتور DC کمotaتور با آرمیچر ساکن و تحریک آهن ربای دائم



(ب) موتور BLDC سه فاز

شکل (۱): مقایسه موتور DC کمotaتور و موتور BLDC سه فاز

در معادلات فوق، v_a, v_b, v_c ، ولتاژهای ترمینال استاتور نسبت به نقطه ستاره موتور، e_a, e_b, e_c ولتاژهای ضدمحركه فازها، L_s و M نیز به ترتیب اندوکتانس خودی و مقابله فازهای استاتور هستند. گشتاور الکترومغناطیسی روی محور روتور نیز از رابطه زیر قابل محاسبه است:

$$T_e = \frac{e_a i_a + e_b i_b + e_c i_c}{\omega_r} \quad (2)$$

که در آن، ω_r سرعت روتور بوده و از معادله حرکت دورانی نیوتن به دست می‌آید:

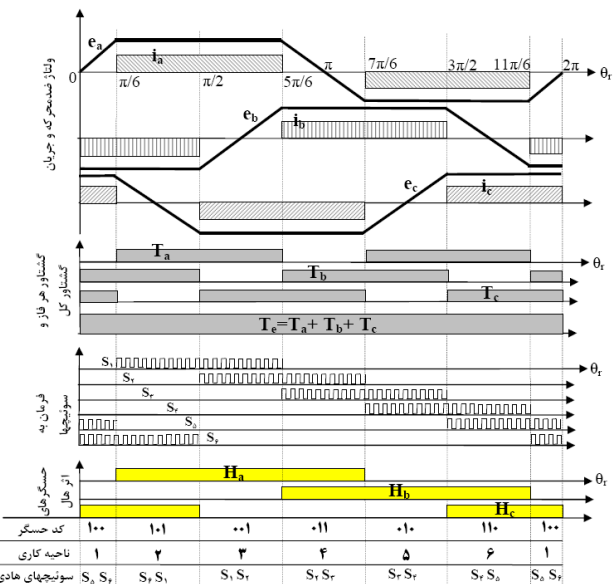
$$T_e = T_L + J \frac{d\omega_r}{dt} + B_f \omega_r \quad (3)$$

در این رابطه، T_L گشتاور بار بوده و J, B_f نیز به ترتیب ضریب اصطکاک بار و ممان اینرسی ارجاعی به محور روتور هستند [۸].

۴. اینورتر مورد استفاده در درایو موتور BLDC

در موتور BLDC به دلیل انجام عمل کمتواسیون جریان به صورت الکترونیکی، برخلاف موتورهای القایی و سنکرون، حتی در کاربردهای سرعت ثابت نیز نیاز دائمی به مبدل توان (اینورتر) دارد. با توجه به نوع کاربرد، قابلیت اطمینان، هزینه ساخت، رفتار دینامیکی و عواملی دیگر، اینورترهای مختلفی برای موتور BLDC پیشنهاد شده‌اند. کنترل اینورتر با کلیدزنی مناسب سوئیچ‌ها روی ولتاژ لینک dc به‌نحوی انجام می‌شود تا جریان‌های هر فاز در بازه‌های BLDC ثابت باقی بماند. اینورترهای پیشنهادشده برای موتورهای BLDC به دسته کلی تمام‌موج و نیم‌موج تقسیم‌بندی می‌شوند. در اینورتر تمام‌موج که در شکل (۵) نوع شش‌سوئیچه آن نمایش داده شده، جریان هر فاز دارای هر دو مقدار مثبت و منفی است. اما در اینورترهای نیم‌موج، جریان فازها فقط دارای مقدار مثبت‌اند. اینورترهای نیم‌موج شامل انواع مختلفی هستند که عبارت‌اند از: نوع Split-Supply که حداقل تعداد سوئیچ در هر فاز را داراست [۹]، نوع C-Dump که دارای چهار سوئیچ است [۱۰] و نوع نیم‌موج با ولتاژ dc متغیر [۱۱]. شکل (۴) اینورتر نیم‌موج نوع لینک dc متغیر را نمایش می‌دهد. جهت جریان در اینورترهای نیم‌موج یک‌طرفه است، اما جهت توان در آن‌ها دوطرفه بوده و قابلیت عملکرد چهار‌بعی را هم دارند. اینورترهای نیم‌موج اگرچه ساختار ساده‌تری دارند، چون در یک دوره ۳۶۰ درجه، هر فاز فقط ۱۲۰ درجه هدایت می‌کند و همچنین در بعضی انواع آن، تنها از نصف ولتاژ لینک dc استفاده می‌شود، دارای بهره‌وری پایینی بوده و از ظرفیت نامی موتور استفاده

عملکرد آن‌ها را مدل کرد. استفاده از مفهوم «تابع سوئیچینگ»^۱ یک ابزار مؤثر در درک و بهینه‌سازی عملکرد مبدل‌های توان استاتیکی است [۵].



شکل (۲): شکل موج‌ها و فرمان به سوئیچ‌ها در موتور BLDC سه فاز

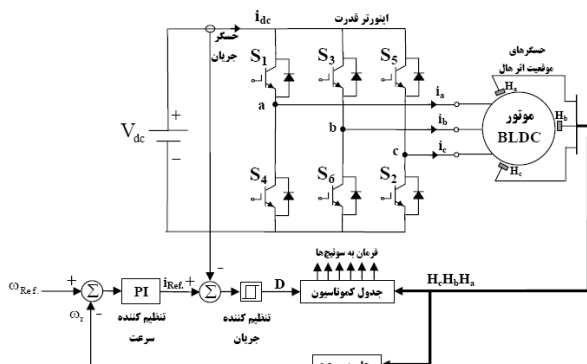
با استفاده از تابع سوئیچینگ به جای مدل‌سازی توپولوژی مدار، عناصر مدار بر حسب توابع‌شان مدل می‌شوند که در ادامه و پس از مدل‌سازی موتور BLDC به آن پرداخته می‌شود. از آنجایی که توزیع شار در فاصله هوایی موتور BLDC به صورت سینوسی نیست، لذا نمی‌توان از سیستم مختصات دوم‌محوری $qd0$ مرسوم و تبدیل‌های $qd0$ به نیاز و دقت ناکافی از جمله معاایب به کارگیری روش‌های میدان دوار برای موتورهای BLDC هستند که اغلب محققان را بر آن داشته‌اند. اینورترهای مختلف شار موتور در دستگاه‌های BLDC تا از روش‌های تحلیلی فضای حالت برای مدل‌سازی موتور استفاده کنند.

شکل (۳)، مدل مداری موتور BLDC سه فاز را نشان می‌دهد [۸]. در این مدل فرض می‌شود که هر سه فاز کاملاً متعادل هستند. لذا معادلات ولتاژ به صورت ذیل خواهد بود:

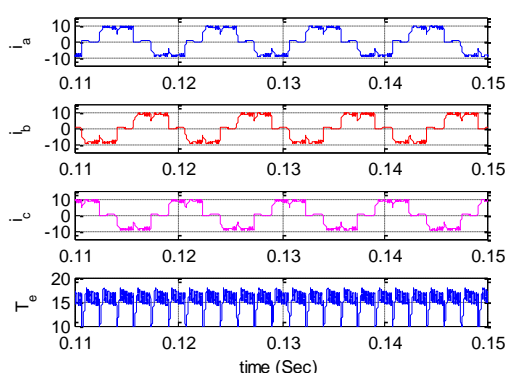
$$\begin{bmatrix} v_a \\ v_b \\ v_c \end{bmatrix} = \begin{bmatrix} R & 0 & 0 \\ 0 & R & 0 \\ 0 & 0 & R \end{bmatrix} \times \begin{bmatrix} i_a \\ i_b \\ i_c \end{bmatrix} + \begin{bmatrix} L_s - M & 0 & 0 \\ 0 & L_s - M & 0 \\ 0 & 0 & L_s - M \end{bmatrix} \frac{d}{dt} \begin{bmatrix} i_a \\ i_b \\ i_c \end{bmatrix} + \begin{bmatrix} e_a \\ e_b \\ e_c \end{bmatrix} \quad (1)$$

تنظیم شود. این روش متداول‌ترین روش کنترل موتور BLDC است که روش کنترل جریان لینک dc نیز نامیده می‌شود. شکل (۵) بلوک دیاگرام درایو کنترل سرعت موتور BLDC به روش کنترل جریان لینک dc را نمایش می‌دهد. تشابه زیادی بین کنترل موتور dc و موتور BLDC به چشم می‌خورد [۳].

در شکل (۶) تغییرات جریان فازهای یک موتور BLDC نمونه را با استفاده از این روش کنترلی نشان می‌دهد. پارامترهای این موتور در جدول (۲) در بخش پیوست آورده شده‌اند. مشاهده می‌گردد که در لحظات کمتواسیون، به‌دلیل عملکرد دیودهای مکمل، جریان در هر سه فاز جاری می‌شود. همچنین به‌دلیل آنکه مدار الکتریکی جریان هر فاز با فازهای دیگر متفاوت است، نرخ تغییرات جریان فازها یکسان نبوده و بنابراین جریان فازها از حالت شبه مرتعی ایده آل خارج می‌شوند. درنتیجه، گشتاور در این لحظات دیگر ثابت نبوده و بسته به مقدار سرعت دچار اعوجاجاتی به صورت بالازدگی یا فروزنگی می‌شود. میزان اعوجاج نیز به سرعت، گشتاور بار، ولتاژ باس dc، مقادیر اندوکتانس و مقاومت هر فاز بستگی دارد. برای غلبه بر مشکل فوق، لازم است تا جریان فازها در تمامی زمان‌ها از جمله در بازه زمانی کمتواسیون نیز کنترل شود.

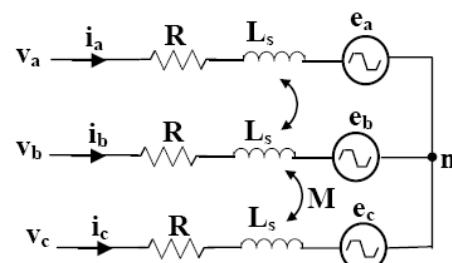


شکل (۵): درایو موتور BLDC به روش کنترل جریان لینک dc

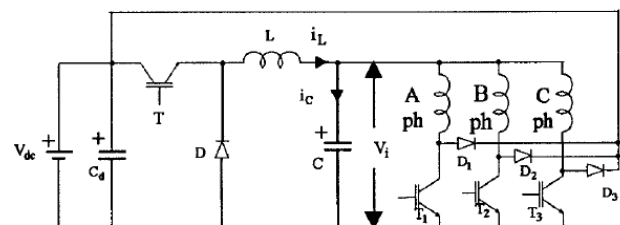


شکل (۶): تغییرات جریان‌های فازها در روش کنترل جریان لینک dc

نمی‌کنند. لذا کاربرد آن‌ها به توانهای در حد کسری از اسب بخار محدود شده است. نوع دیگری از اینورترهای تمام موج هستند که به جای شش سوئیچ از چهار سوئیچ استفاده می‌کنند. این نوع اینورتر مشکلات سایر اینورترهای کاهش ساختاریافتة نیم موج را کمتر دارند، اما به‌دلیل حذف دو سوئیچ در آن، مسائل خاص خود را دارد و رفع این مسائل نیازمند به کارگیری روش‌های کنترلی پیچیده‌تر هستند [۳ و ۱۲]. با توجه به قیمت ناچیز سوئیچ‌های نیمه‌هادی، به کارگیری اینورترهای نیم موج و چهار سوئیچه توجیه اقتصادی ندارد.



شکل (۳): مدل مداری موتور BLDC سه فاز



شکل (۴): اینورتر نیم موج با ولناژ لینک dc متغیر برای موتور BLDC

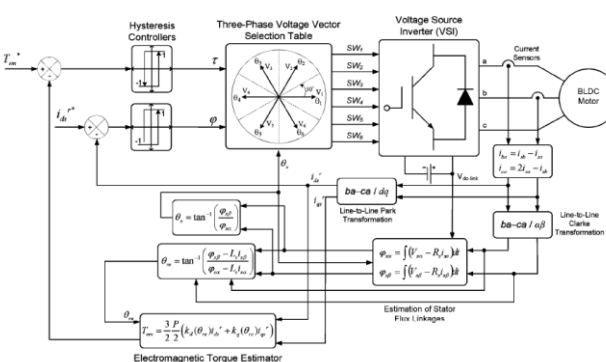
۵. روش‌های کنترل موتور BLDC

مزیت عمده موتورهای BLDC قابلیت کنترل آسان سرعت/گشتاور در آن‌هاست که همانند موتورهای dc فقط نیازمند تغییر دامنه جریان استاتور است. روش‌های مختلفی برای کنترل سرعت/گشتاور موتورهای BLDC پیشنهاد شده که در این بخش به اهم آن‌ها که در درایوهای تجاری نیز مورد استفاده قرار گرفته‌اند، پرداخته می‌شود. این روش‌ها عبارت‌اند از کنترل جریان لینک dc، کنترل مستقیم جریان فازها، کنترل مستقیم گشتاور.

در یک موتور BLDC در هر لحظه از زمان، جریان تنها در دو فاز جاری بوده و فاز سوم خاموش است (به غیر از لحظات کمتواسیون که جریان برای مدت کوتاهی در هر سه فاز جاری می‌شود). این جریان از منع (یا لینک dc) وارد موتور شده و سپس به آن بازمی‌گردد. لذا برای کنترل جریان در موتور BLDC کافی است تا تنها جریان لینک dc که با فرض ثابت بودن بار، باید مقدار ثابتی داشته باشد حول مقدار مرجعش

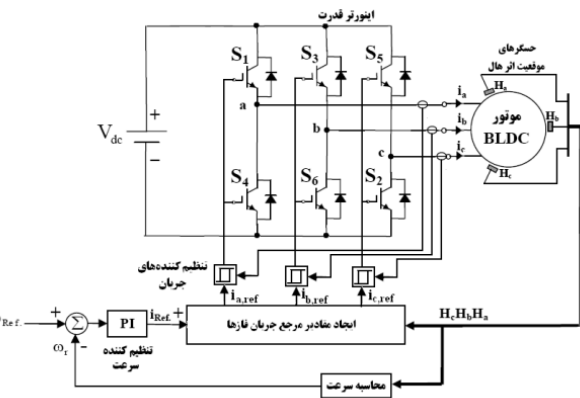
شکل (۹) بلوک دیاگرام درایو موتور BLDC با روش کنترل مستقیم گشتاور را نشان می‌دهد [۱۶، ۱۸]. در روش DTC، مقادیر شار و گشتاور بدون تنظیم جریان و مستقیماً با کلیدزنی سوئیچ‌های اینورتر کنترل می‌شوند. لذا این روش بدون احتساب حلقه سرعت، تنها دارای دو حلقه کنترل است. اما در روش DTC برای موتور BLDC برخلاف موتورهای با تغذیه سینوسی (القایی و PMSM) نیاز به حلقه کنترل شار وجود ندارد و در صورت نیاز به کار موتور BLDC در ناحیه بالاتر از سرعت نامی، از روش کنترل زاویه پیش‌فازی (PAA)^۳ استفاده می‌شود که در بخش‌های بعد به آن پرداخته خواهد شد.

مطابق شکل (۹) خروجی مقایسه‌گر گشتاور (ΔT) به یک کنترل کننده هیسترزیس وارد می‌شود که می‌تواند دو سطحی یا سه‌سطحی باشد که البته در این شکل، نوع دو سطحی است. خطای گشتاور دارای علامت ثابت، منفی یا صفر (به معنای قرار داشتن خطای گشتاور در باند هیسترزیس) است که به ترتیب به معنای نیاز به افزایش/کاهش بدون تغییر یافتن گشتاور است. بر این اساس، بردار ولتاژ مناسب از جدول انتخاب بردار ولتاژ انتخاب شده و به عبارتی، فرمان‌ها به دو سوئیچ مناسب از اینورتر اعمال می‌شوند. جدول (۱) بردار ولتاژ مناسب در هر ناحیه ۶۰ درجه را نشان می‌دهد. هر بردار ولتاژ با یک عدد باینری شش بیتی متناظر است. ترتیب بیت از چپ به راست معادل شماره سوئیچ بوده و عدد یک و صفر به ترتیب بیانگر وصل یا قطع بودن سوئیچ متناظر هستند. از جدول مشاهده می‌شود که در هر لحظه از زمان، تنها به دو فاز موتور فرمان اعمال می‌شود [۱۹]. در کنترل موتور BLDC به روش DTC نیز همانند کنترل DTC تمامی موتورها، گشتاور موتور باید تخمین زده شود.

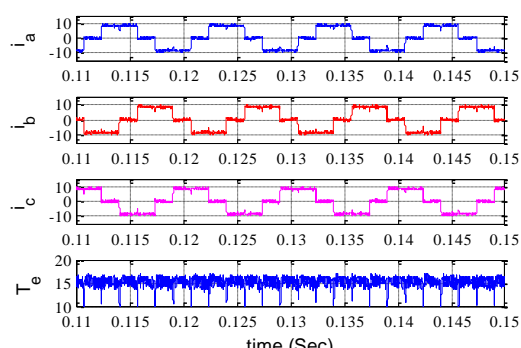


شکل (۹): درایو موتور BLDC به روش کنترل مستقیم گشتاور (DTC)

روش دیگر کنترل جریان، کنترل مستقیم جریان فازهاست. مطابق شکل (۷) در این روش، برای هر کدام از فازها یک کنترل کننده جریان جداگانه در نظر گرفته شده است. شکل (۸) تغییرات جریان فازهای یک موتور BLDC نمونه را با استفاده از این روش کنترلی نشان می‌دهد. مشاهده می‌شود که جریان فازها دستخوش هیچ‌گونه اعوجاجی در لحظات کمتواسیون نمی‌شود [۱۳]. روش کنترل مستقیم گشتاور (DTC)^۱ از روش‌های جدید کنترل موتورهای القایی و PMSM است که طی دو دهه اخیر به خوبی توسعه داده شده است و توسط شرکت‌هایی از جمله ABB تجاری شده است [۱۴ و ۱۵]. از مزایای روش DTC می‌توان به ساختار ساده‌تر، کنترل مستقیم شار و گشتاور و حذف حلقه‌های کنترل جریان، عملکرد دینامیکی بالا و پاسخ سریع، کلیدزنی سوئیچ‌ها به روش SVM^۲ اشاره کرد. اگرچه این روش در ابتدا برای موتورهای سینوسی بیان شد، جذابیت‌ها و سادگی پیاده‌سازی این روش سبب شد تا برای موتورهای BLDC نیز به کار رود [۱۶ و ۱۷].



شکل (۷): درایو موتور BLDC به روش کنترل مستقیم جریان فازها



شکل (۸): تغییرات جریان در روش کنترل مستقیم جریان فازها

استفاده از روش‌های جهت‌دهی شار (FOC)^۳ یا کترل برداری در کترل موتورهای BLDC آنچنان کاربردی نداشته و این روش‌ها ضمن دارا بودن حجم محاسبات زیاد، برتری خاصی نیز ندارند [۲۳ و ۲۴].

۶. کترل بدون حسگر موتور BLDC

یکی از دیگر مزایای موتورهای BLDC نسبت موتورهای القایی و PMSM آن است که برای کترل این موتور، تنها دانستن شش نقطه در یک 360° الکتریکی کافی است. این شش نقطه با استفاده از سه حسگر موقعیت اثر هال قابل تعیین هستند. اگرچه این حسگرهای قیمت ناچیزی دارند و نسبت به سایر حسگرهای موقعیت نظری کدکننده‌های نوری^۴ و تحلیل گرها^۵ به مراتب ساده‌ترند، اما باید به این نکته توجه داشت که حسگرهای اثر هال در داخل موتور و در مجاورت آهن ریای دائم روتور قرار دارند و اگر این حسگرهای دچار خرابی یا مشکل شوند، موتور باید توسط شخص متخصص و مجرب تعمیر شود. در حالی که حسگرهای نظری کدکننده نوری به محور موتور کوپل شده و در صورتی خراب به راحتی قابل تعویض و تعمیرند و نیازی به بازکردن خود موتور نیست.

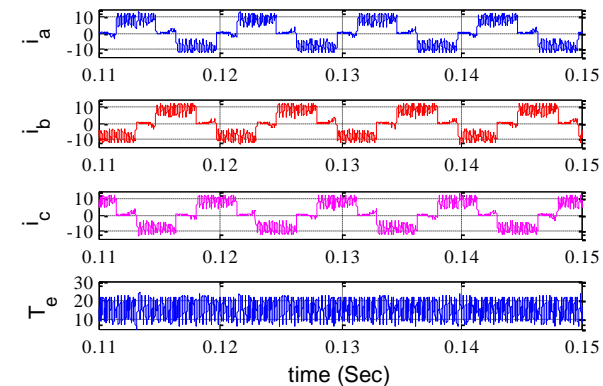
علاوه بر آن، استفاده از حسگرهای موقعیت و سرعت باعث افزایش هزینه و پیچیدگی ساختار درایو می‌شوند. شرایط محیطی نامطلوب، دمای بالا و وجود ارتعاشات مکانیکی با توجه به حساسیت حسگرهای موقعیت، می‌توانند سبب بروز مشکل شوند. حسگرهای موقعیت اثر هال که عموماً در موتورهای BLDC به کار می‌روند، عمدتاً در دمای بالاتر از 70°C درجه سانتی گراد دچار خطأ می‌شوند. با توجه به مسائل فوق و همچنین برای بالابردن قابلیت اطمینان درایو و عملکرد صحیح آن در صورت بروز خطأ در حسگرهای سبب شده است تا استفاده از روش‌های کترل بدون حسگر موقعیت برای موتورهای BLDC، مورد توجه محققان قرار گیرد [۲۵] و حتی بعضی از روش‌ها به صورت مدار مجتمع همراه با روش کترلی موتور یکپارچه شوند [۲۶].

به دلیل شکل موج غیرسینوسی ولتاژ ضدمحركه و جریان فازهای موتور BLDC، به کارگیری مستقیم تبدیلهای دومحوری و استفاده از فازورهای فضایی پیچیده است و همراه با خطاست. از این‌رو بیشتر روش‌های تخمین موقعیت روتور که برای موتورهای با تغذیه می‌نیوند به کار گرفته می‌شوند، برای موتور BLDC کاربرد نخواهند داشت.

جدول (۱): جدول سوئیچینگ روش DTC برای موتور BLDC

ΔT	علامت (θ_e)	+	-
(۱) $30^\circ\text{--}330^\circ$	۱	$V_2(001001)$	$V_5(000110)$
(۲) $30^\circ\text{--}90^\circ$	۲	$V_3(011000)$	$V_6(100100)$
(۳) $90^\circ\text{--}150^\circ$	۳	$V_4(010010)$	$V_1(100001)$
(۴) $150^\circ\text{--}210^\circ$	۴	$V_5(000110)$	$V_2(001001)$
(۵) $210^\circ\text{--}270^\circ$	۵	$V_6(100100)$	$V_3(011000)$
(۶) $270^\circ\text{--}330^\circ$	۶	$V_1(100001)$	$V_4(010010)$

تخمین گشتاور با استفاده از رابطه گشتاور و اندازه‌گیری پارامترهای ولتاژ و جریان موتور انجام می‌شود. همچنین از رؤیتگرهای کلاسیک نیز می‌توان گشتاور و موقعیت را تخمین زد [۱۸ و ۲۰]. شکل (۱۰) تغییرات جریان و گشتاور موتور BLDC به روش DTC را نشان می‌دهد. مشاهده می‌شود که ضربان گشتاور و جریان نسبت به دو روش قبلی بسیار بیشتر است. تحقیقات زیادی در زمینه بهبود روش DTC و رفع مشکلات آن برای موتورهای مختلف انجام شده است [۲۱]. یکی از مشکلات روش DTC فرکانس سوئیچینگ متغیر و نسبتاً بالا در مقایسه با سوئیچزنی به روش PWM^۶ است. ثابتی فرکانس سوئیچینگ در روش DTC یک از اهداف تحقیقات انجام شده بوده است. استفاده از ایده کترل تکسیکلی (OCC)^۷ یکی از این روش‌هایست که ضمن حفظ سادگی کترل کننده هیسترزیس، تنها از یک حسگر جریان برای کترول جریان فازها استفاده می‌کند و دارای فرکانس سوئیچینگ ثابتی هست [۲۲].



شکل (۱۰): تغییرات گشتاور و جریان موتور BLDC به روش DTC

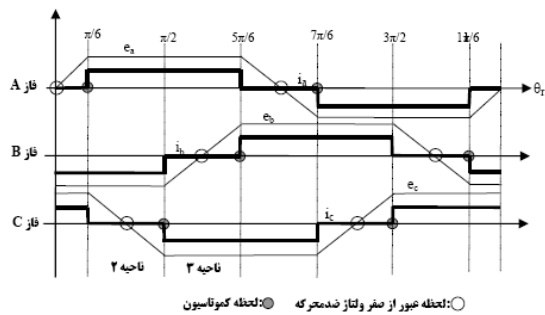
مروری بر روش‌های تحلیل، کنترل، پیاده‌سازی و ارزیابی محرکه‌های...

۳۱

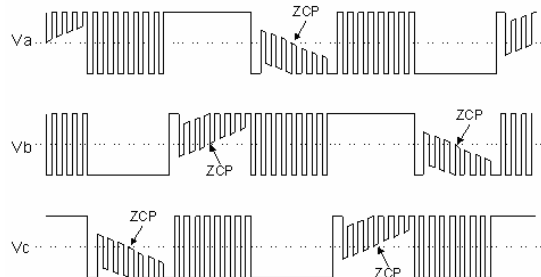
متعادل برای ایجاد نقطه ستاره مجازی و اندازه‌گیری ولتاژ ترمینال‌ها استفاده می‌شود. شکل (۱۲) اندازه‌گیری ولتاژ‌های ترمینال موتور BLDC را وقتی از روش ولتاژ PWM برای کنترل جریان موتور استفاده می‌شود، نمایش می‌دهد. در این شکل، از روش PWM نرم استفاده شده است [۲۷].

برای حذف اثرات سوئیچینگ فرکانس بالا از ولتاژ ترمینال فاز خاموش که از طریق ولتاژ نقطه ستاره موتور به ولتاژ ترمینال فاز خاموش منتقل می‌شود، ولتاژ ترمینال فاز خاموش ابتدا از یک فیلتر پایین گذر عبور داده و سپس نقطه گذر از صفر آن تعیین می‌شود [۳۳]. مشکلات عمده این روش عبارت‌اند از:

۱. کاهش دامنه ولتاژ ضدمحركه در سرعت‌های پایین.
۲. وجود نويزهای ولتاژ فرکانس بالا ناشی از سوئیچینگ.
۳. خطای تأخیر ناشی از فیلتر کردن ولتاژ.
۴. خطاهای ناشی از ایجاد جابجایی 30° درجه به علت وابستگی به سرعت.



شکل (۱۱): نقاط ZCP ولتاژ‌های ضدمحركه و لحظات کموتاسیون



شکل (۱۲): تعیین نقطه گذر از صفر (ZCP) ولتاژ ضدمحركه

برای حل مشکلات فوق، روش‌های مختلفی ارائه شده‌اند. مرجع [۲۸] ولتاژ فاز خاموش را در حالت صفر بودن فرمان PWM سوئیچ تحت کنترل اندازه‌گیری می‌کند. مرجع [۳۹] با اصلاح روش ارائه شده، اندازه‌گیری را در دو حالت خاموش و روشن بودن سوئیچ تحت کنترل PWM انجام می‌دهد. برای جبران دقیق تأخیر فاز ناشی از فیلتر کردن، مرجع [۴۰] از جابجاکننده فاز مستقل از سرعت استفاده کرده است. در

روش‌های تخمین موقعیت در موتور BLDC را می‌توان به سه دسته اصلی ذیل تقسیم‌بندی کرد [۲۷]:

۱. روش‌های برمنای ولتاژ ضدمحركه [۲۸ و ۲۹]
۲. استفاده از تغییرات اندوکتانس و شار استاتور [۳۰ و ۳۱]
۳. استفاده از تئوری‌های کنترلی [۳۲ و ۳۳]

به دلیل سادگی روش‌های دسته اول و قابل اعمال بودن آن برای تمام موتورهای BLDC، اغلب روش‌های کنترل بدون حسگر موتورهای BLDC برمنای ولتاژ ضدمحركه طراحی شده‌اند. در این بخش، روش‌های این دسته معرفی و پرکاربردترین آن‌ها توضیح داده می‌شوند و درباره سایر روش‌ها فقط به معرفی و ذکر ویژگی‌ها اکتفا می‌شود. روش‌هایی بر منای ولتاژ ضدمحركه، خود انواع مختلفی دارند که عبارت‌اند از: اندازه‌گیری ولتاژ ترمینال‌ها [۳۳ و ۳۴]، استفاده از هارمونیک سوم ولتاژ ضدمحركه [۳۵]، اندازه‌گیری جریان دیوهای مکمل سوئیچ‌ها [۳۶]، انتگرال‌گیری از ولتاژ ضدمحركه فازها [۳۷] و استفاده از توابع مناسبی از ولتاژ‌های ضدمحركه [۳۸]. از میان روش‌های فوق، اندازه‌گیری ولتاژ ترمینال‌ها بیش از همه مورد توجه قرار گرفته است که به خاطر کاربردی بودن آن به تفصیل بیان می‌شود. در عملکرد عادی موتورهای BLDC در هر فاز، هارمونیک اصلی ولتاژ ضدمحركه و جریان، فاز برابر دارند. مطابق با شکل (۱۱) می‌توان زمان‌های کموتاسیون جریان را با دانستن نقاط عبور از صفر (ZCP)^۱ ولتاژ ضدمحركه و درنظر گرفتن تأخیر فاز 30° درجه الکتریکی به دست آورد. برای تعیین نقطه گذر از صفر ولتاژ ضدمحركه فازها، با توجه به این نکته که در موتور BLDC سه فاز برخلاف موتورهای القایی و سنکرون، در غیر از لحظات کموتاسیون، جریان فقط از دو فاز موتور عبور می‌کند و جریان فاز سوم (فاز خاموش) صفر است، می‌توان با اندازه‌گیری ولتاژ ترمینال استاتور نسبت به نقطه ستاره موتور، نقطه گذر از صفر ولتاژ ضدمحركه فاز خاموش را تعیین کرد [۲۷ و ۲۸]. برای مثال، به‌فرض قرار داشتن موتور در ناحیه دوم کاری که جریان فاز a مثبت، جریان فاز b منفی و جریان فاز c صفر است و برای تغییر ناحیه کاری به ناحیه سوم، می‌توان ولتاژ ترمینال فاز c (فاز خاموش) نسبت به نقطه ستاره را اندازه‌گیری کرد. زمانی که این ولتاژ صفر شود، ولتاژ ضدمحركه فاز c از سطح صفر ولت عبور کرده است. با دانستن سرعت موتور و ایجاد زمان تأخیر معادل با 30° درجه الکتریکی، لحظه کموتاسیون جریان به‌دست می‌آید.

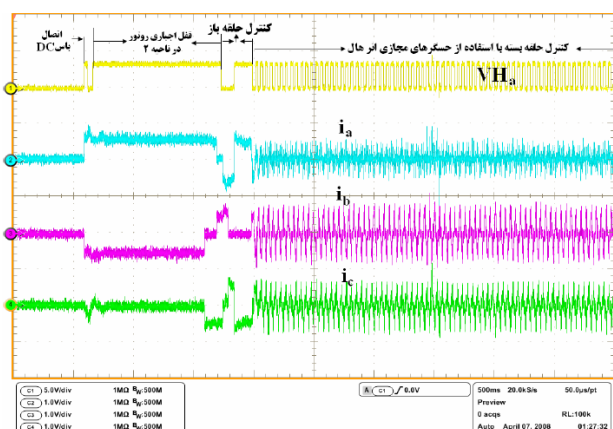
در حالت عملی، به‌دلیل در دسترس نبودن ولتاژ نقطه ستاره اغلب موتورهای BLDC موجود در بازار، از یک اتصال ستاره مقاومتی

1. Zero Crossing Point

یا رلوکاتانس فاصله هواپی به قدر کافی تغییر می کند، به راحتی امکان پذیر است [۴۵]. اما در موتورهای BLDC که تغییرات رلوکاتانس فاصله هواپی ناچیزی دارند، تخمین موقعیت اولیه رotor امکان پذیر نیست.

در راه اندازی موتور BLDC در هنگام به کار گیری روش های بدون حسگر، راه حل مناسب آن است که روتور در یک موقعیت دانسته شده قرار گرفته و سپس راه اندازی موتور از این موقعیت اولیه معلوم انجام شود. در این روش با تحریک دو فاز دلخواه استاتور، روتور در یک نقطه تعادل معلوم قرار می گیرد. پس از آن یک میدان دور در جهت سوردنظر با تحریک متناوب فازهای استاتور و با فرکانس مناسب ایجاد می شود. مقدار و مدت زمان این تحریک به نحوی است که روتور بتواند با غلبه بر اصطکاک و اینرسی خود شتاب گرفته و به یک سرعت حداقلی برای اعمال روش کترل بدون حسگر برسد. سپس با استفاده از سیگنال های موقعیت تخمین زده شده، روش کترل بدون حسگر اعمال می شود. این روش راه اندازی موتور BLDC روش حلقة باز نام داشته و شامل سه مرحله ذیل است [۴۶]: ۱. جهت دهی روتور در یک موقعیت معلوم؛ ۲. تحریک متوالی فازهای موتور با فرکانس مناسب؛ ۳. رسیدن به سرعت حداقلی و اعمال روش کترل بدون حسگر.

در حالت جهت دهی اولیه روتور، مقدار جریان مرجع باید به درستی انتخاب شود تا از نوسانی شدن موتور حول نقطه تعادل جلوگیری شود. مدت زمان اعمال جریان در هنگام جهت دهی روتور و فرکانس میدان دور در حالت شتاب گیری، باید به درستی انتخاب شوند. یکی از عیوب های اصلی روش راه اندازی حلقة باز آن است که در هنگام جهت دهی روتور، ممکن است روتور در جهت عکس بچرخد؛ البته می توان نشان داد مقدار این چرخش کمتر از ۱۸۰ درجه الکتریکی است. اگر در یک کاربرد، حتی این مقدار ناچیز چرخش در جهت عکس نیز مجاز نباشد، باید راهکار دیگری انتخاب شود. شکل (۱۳)، نتایج واقعی راه اندازی و تغییرات جریان فازهای یک موتور BLDC را نشان می دهد [۳ و ۳۳].



شکل (۱۳): راه اندازی موتور BLDC به روش کترل حلقة باز [۳]

[۳۴] بدون استفاده از بازسازی و ساختن ولتاژ نقطه ستاره موتور، به طور مستقیم نقاط عبور از صفر ولتاژ های ضد محركة فازها را بدون نیاز به فیلتر کردن تعیین نموده است. مرجع [۴۱] تنها با اندازه گیری ولتاژ ترمینال یک فاز نسبت به نقطه وسط باس DC، دو نقطه عبور از صفر ولتاژ ضد محركة یک فاز را بدون استفاده از مدار فیلتر و برای تمام دوره های عملکرد سوئیچ های قدرت (٪۱۰۰) تعیین کرده است و نقاط گذر از صفر ولتاژ ضد محركة فازهای دیگر را به صورت تقریبی و با میان یابی به دست آورده است. استفاده از ولتاژ های خط به خط ترمینال ها نیز نیاز به ایجاد نقطه ستاره و همچنین جایگایی فاز ۳۰ درجه ای را مرتفع می کند که ساختار مدار را بسیار ساده می کند [۳۳] و سایر روش های دیگر اندازه گیری بر مبنای ولتاژ ضد محركة، منابع خطی بیشتری نسبت به روش اندازه گیری ولتاژ ترمینال داشته یا اینکه به مدارات اندازه گیری بیشتری نیازمند هستند.

دسته دوم روش های بدون حسگر از تغییرات اندوکتانس استاتور برای تخمین موقعیت روتور استفاده می کنند. این روش برای موتورهایی کاربرد دارد که اندوکتانس های مختلف در دو راستای d و q دارند. همچنین از این روش می توان برای تخمین موقعیت روتور در حالت توقف موتور نیز استفاده کرد [۴۲]. از شار پیوندی استاتور که با استفاده از ولتاژ ها و جریان های اندازه گیری استاتور قابل محاسبه است، نیز می توان موقعیت روتور را تخمین زد [۲۹ و ۳۰]. تعیین موقعیت اولیه روتور در این روش ضروری است.

جدایت و قابلیت روش ها و تئوری های کترلی که درباره موتورهای PMSM به کار رفته اند، سبب شده است که برخی از این روش ها در تخمین موقعیت موتورهای BLDC مورد استفاده قرار گیرند. این روش ها که بر مبنای مدل ریاضی موتور بوده و به اطلاعات دقیقی از پارامترهای موتور نیازمند هستند، عبارت اند از: روینگر لیونبرگر^۱ [۴۳]، روئیتگر مودلغرشی^۲، فیلتر کالمون^۳ [۳۱]، تخمین گرهای فازی [۳۲] و شبکه های عصبی [۴۴]. عیب عمده اغلب این روش ها، حجم محاسبات بالا و وابستگی اغلب آن ها به پارامترهای مدل موتور است.

مسئله مهم دیگر در استفاده از روش های کترل بدون حسگر، راه اندازی موتور است. موتور BLDC یک موتور خود راه انداز نیست و راه اندازی صحیح موتور و ایجاد گشتاور مناسب، مستلزم معلوم بودن موقعیت اولیه روتور است. از طرف دیگر، روش های کترل بدون حسگر موقعیت نیز خود راه انداز نبوده و نیاز به دانستن موقعیت اولیه روتور دارند. تعیین موقعیت اولیه روتور در موتورهایی که با گردش روتور، اندوکتانس

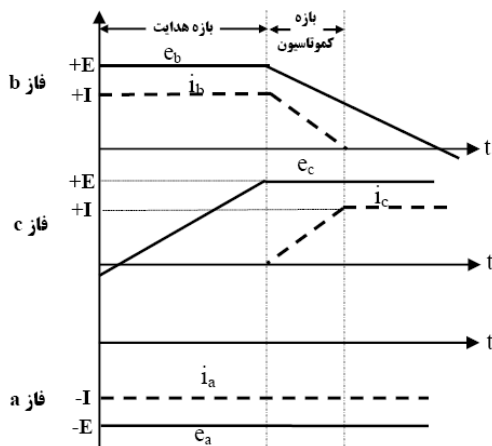
1. Luenberger Observer
2. Sliding Mode Observer
3. Kalman Filter

در موتور BLDC به برخی نمونه‌های ارائه شده آن پرداخته می‌شود. روش کنترل مستقیم گشتاور یا DTC که در بخش ۵ به آن پرداخته شد، با کنترل لحظه‌ای و بی‌واسطه گشتاور، رفتار موتور را بهبود می‌بخشد. روش کنترل زاویه پیش‌فازی نیز با جبران سازی اثر تأخیر فاز ناشی از اندوکتانس استاتور، عمل کمotaسیون را اصلاح می‌کند. با توجه به آنکه این روش بیشتر در سرعت‌های بالا و در ناحیه توان ثابت مورد استفاده قرار می‌گیرد، در بخش بعد به آن پرداخته می‌شود. در روش کنترل مؤلفه‌های هارمونیکی، از ایده دستگاه دومحوری $qd0$ استفاده می‌شود و در آن هارمونیک‌های جریان موتور در دستگاه‌های مختلف qd کنترل و نتایج با یکدیگر ترکیب می‌شوند. اغلب روش‌های این دسته دارای حجم محاسباتی بالا بوده و به تغییر پارامترهای موتور حساس‌اند.

۷-۱. تحلیل عمل کمotaسیون در موتور BLDC

در این بخش، نشان داده می‌شود که بدون استفاده از روش کنترل جریان مناسب، در اغلب شرایط کاری موتور، ضربان گشتاور وجود دارد. شکل (۱۴) حالت کمotaسیونی (ایده آل) را نشان می‌دهد که در آن، شبیب افزایش و کاهش جریان دو فاز دخیل در کمotaسیون برابرند. کمotaسیون جریان در ناحیه ششم کاری موتور بوده که طی آن تغییر جریان در سطح مثبت و از فاز b به فاز c موتور است و جریان فاز a در سطح منفی و بدون تغییر باقی می‌ماند. با اندکی محاسبه می‌توان نشان داد که گشتاور الکترومغناطیسی لحظه‌ای موتور در بازه کمotaسیون، از رابطه زیر به دست می‌آید:

$$T_e(t) = \frac{2E \cdot i_a}{\omega_r} + \frac{6E \cdot i_a}{\pi} \left(\frac{t^2}{t_c} - t \right) = T_i + T_c \quad (۴)$$



شکل (۱۴): حالت ایده‌آل کمotaسیون جریان فازها در موتور BLDC

گشتاور لحظه‌ای (T_e) شامل دو مؤلفه است: T_i گشتاور ناشی از جریان فاز a است و در صورتی که جریان a دارای ضربان باشد، T_i نیز

۷. ضربان گشتاور در موتور BLDC

علی‌رغم برتری‌های موتور BLDC نسبت به سایر موتورها، گشتاور تولیدی این موتور دارای ضربان بیشتری نسبت به موتور PMSM است. وجود ضربان علماً باعث ایجاد نویز و لرزش و محلودیت کار موتور در سرعت‌های بالا می‌شود. وجود ضربان گشتاور در برخی کاربردها نظری سیستم‌های کنترل وضعیت و رباتیک که نیازمند داشتن گشتاور نرم و بدون لرزش و نویزهای صوتی هستند، غیرقابل قبول بوده و لذا محققان به BLDC روش‌های مختلف درصد کاهش ضربان گشتاور موتور برآمده‌اند. این موتورها به طور ذاتی، سه منبع اصلی ضربان گشتاور دارند [۴۷] که عبارت‌اند از: اثر دندانه‌های شیارهای استاتور، رلوکتانس متغیر روتور و کمotaسیون جریان. روش‌های کاهش ضربان گشتاور درایو موتور BLDC را می‌توان به دو دسته روش‌های مبنی بر طراحی موتور و مبنی بر طراحی سیستم کنترل تقسیم‌بندی کرد.

روش‌های مبنی بر طراحی موتور، معمولاً برای بهبود اثر شیارهای استاتور (یا گشتاور کاگینگ^۱) و رلوکتانس متغیر موتور ارائه شده‌اند. استفاده از سیم‌بندی با شیار بسته، مورب نمودن شیارهای استاتور، شکل دهنی مناسب دندانه‌های استاتور روش‌هایی هستند که می‌توان ضمن کاهش دامنه گشتاور کاگینگ، فرکانس ضربان گشتاور را افزایش داد [۴۸].

در موتور BLDC به دلیل وجود اندوکتانس استاتور، جابجایی جریان (کمotaسیون) بین فازها به صورت ایدئال انجام نمی‌گیرد و جریان فازها به جای آنکه به صورت کاملاً مربعی تغییر کنند، همراه با تأخیر و به صورت نمایی به مقادیر نهایی خود می‌رسند. درنتیجه، گشتاور الکترومغناطیسی تولیدشده همراه با ضربان خواهد بود [۱۳]. ضربان گشتاور ناشی از کمotaسیون، عمدتاً ترین منبع ایجاد ضربان گشتاور در موتور BLDC است و اغلب تحقیقات انجام‌شده در راستای کاهش این نوع ضربان بوده است. روش‌های مختلف کاهش ضربان گشتاور ناشی از کمotaسیون بر مبنای طراحی سیستم کنترل را می‌توان به طور کلی، در چهار دسته تقسیم‌بندی کرد:

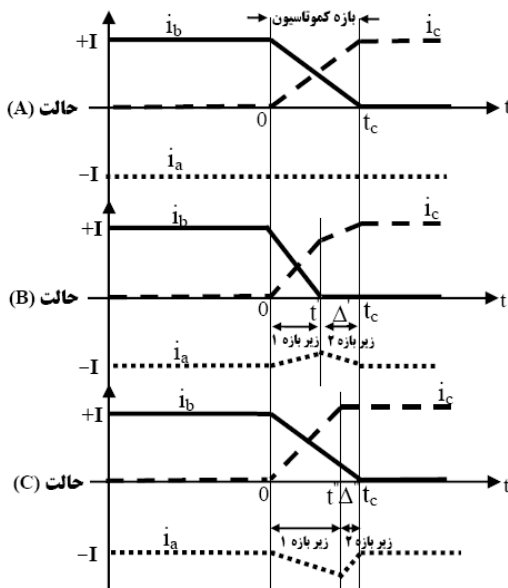
۱. شکل دهنی مناسب جریان^۲
۲. کنترل مستقیم گشتاور [۴۹]
۳. کنترل زاویه پیش‌فازی جریان
۴. کنترل مؤلفه‌های هارمونیکی جریان [۵۰]

شکل دهنی مناسب جریان یکی از روش‌های ساده و کاربردی برای بهبود عمل کمotaسیون است که پس از مطالعه تحلیلی عمل کمotaسیون

1. Cogging Torque
2. Current Shaping

موتور BLDC که موتور حتی در شرایط بی‌باری ایده آل نمی‌تواند از آن فراتر رود، سرعتی است که در آن رابطه زیر برقرار است [۱۳]:

$$V_{dc} = 2E \quad (9)$$



شکل (۱۵): کموتاسیون جریان در شرایط کاری مختلف:
(A) حالت ایده آل (B) سرعت بالا (C) سرعت پائین

۷. روش‌های شکل‌دهی مناسب جریان

مراجع مختلف، روش‌های گوناگونی را برای شکل‌دهی جریان فازها در طی بازه کموتاسیون با هدف حذف ضربان گشتاور پیشنهاد کرده‌اند. برخی مراجع سعی نموده‌اند تا از دحالت دیودهای هرزه‌گرد در عمل کموتاسیون جلوگیری کرده و به عبارتی، رفتار جریانی دو فاز دخیل در کموتاسیون را بیکسان کنند [۵۲]. تفاوت راه حل‌های ارائه شده در تعداد حسگرهای ولتاژ و جریان مورد استفاده در درایو و همچنین پیچیدگی روابط موردن استفاده برای کلیدزنی سوئیچ‌ها است. اغلب روش‌های فوق به یک رابطه تحلیلی برای دوره عملکرد سوئیچ‌ها می‌رسند که وابسته به پارامترهای موتور و درایو است. راه حل ساده‌تر دیگری که به روابط پیچیده تحلیلی نیازی ندارد، استفاده از کنترل مستقیم جریان فازهای است. توضیح این روش در بخش (۵) مقاله بیان شده است و بلوک دیاگرام و نتایج شبیه‌سازی این روش در شکل‌های (۷) و (۸) نشان داده شده‌اند. این روش در عمل، نیازمند به استفاده از حداقل دو حسگر جریان است. در شکل (۱۶)، تغییرات جریان یک موتور BLDC با دو روش کنترل جریان لینک dc و کنترل مستقیم جریان فازها را در بازه کموتاسیون مقایسه می‌کند. روش کنترل مستقیم

حاوی ضربان خواهد بود. T_e گشتاور ناشی از کموتاسیون است که رابطه غیرخطی با زمان داشته و فقط به شرط $t = t_c$ برابر با صفر می‌شود. به عبارت دیگر، اگر جریان هر دو فاز دخیل در کموتاسیون دقیقاً در طی زمان t_c ثانیه به مقادیر نهایی خود برسند، کموتاسیون جریان ایدئال بوده و هیچ‌گونه ضربان گشتاوری وجود نخواهد داشت. در غیر این صورت، ضربان گشتاور یا به صورت بالازدگی یا پایین‌زدگی وجود خواهد داشت [۱۳].

شکل (۱۵) حالت‌های مختلف عمل کموتاسیون بین دو فاز b و c را نشان می‌دهد. حالت ایده آل (A) برای هر درایو موتور فقط در یک سرعت خاص اتفاق می‌افتد که این سرعت وابسته به نوع موتور و مقدار ولتاژ بس DC اینورتر است. در حالت (A)، تغییر جریان بین دو فاز b و c به طور مستقیم و از طریق سوئیچ‌ها انجام می‌شود و هیچ‌کدام از دیودهای هرزه‌گرد اینورتر، جریان را هدایت نمی‌کنند. در سایر سرعت‌ها کموتاسیون جریان مطابق حالت (B) یا (C) است که در آن، تغییر جریان از فاز b به فاز c مستقیماً از طریق سوئیچ‌ها انجام نمی‌شود، بلکه در طی بازه کموتاسیون، جریان برای لحظاتی از یک یا چند دیوده هرزه‌گرد اینورتر نیز عبور می‌کند [۳ و ۵۱]. با نوشتن معادلات ولتاژ و جریان در هریک از شرایط کاری فوق و حل آن‌ها، می‌توان اثبات کرد که حالت کموتاسیون ایده آل (A) زمانی اتفاق می‌افتد که رابطه زیر برقرار باشد:

$$V_{dc} = 4E \quad (5)$$

و در این حالت ضربان گشتاور موتور (ΔT_e) صفر بوده و زمان کموتاسیون هم برابر است با:

$$\Delta T_e = 0; \quad t_c = \frac{LI}{2E}; \quad \text{case A} \quad (6)$$

در غیر این صورت، اگر $V_{dc} < 4E$ باشد که متناظر با سرعت‌های بالاست، گشتاور دچار فرورفتگی شده و خواهیم داشت:

$$\Delta T_e = \frac{V_{dc} - 4E}{2V_{dc} - 2E} \quad (\text{pu}); \quad t_c = \frac{LI}{V_{dc} - 2E}; \quad \text{case B} \quad (7)$$

و اگر هم $V_{dc} > 4E$ باشد که متناظر با سرعت‌های پایین است، گشتاور دچار بالازدگی شده و خواهیم داشت:

$$\Delta T_e = \frac{V_{dc} - 4E}{V_{dc} + 2E} \quad (\text{pu}); \quad t_c = \frac{3LI}{V_{dc} + 2E}; \quad \text{case C} \quad (8)$$

در روابط فوق، I جریان لینک dc و اندوکتانس L برابر $L_s - M$ هستند. ذکر این نکته ضروری است که با افزایش زمان کموتاسیون، سرعت موتور BLDC مطابق رابطه (۷) زمان کموتاسیون، افزایش می‌یابد.

این بدان معناست که جریان فاز خاموش شونده دخیل در کموتاسیون، دیرتر به مقدار نهایی خود می‌رسد. حد نهایی سرعت

راه حل عملی برای رساندن سرعت موتور BLDC به بالاتر از سرعت نامی آن و کار در ناحیه توان ثابت، استفاده از روش کنترل زاویه پیش‌فازی (PAA) است. ایده اساسی این روش همان افزایش گشتاور موتور است. در حالت عادی، فرمان به یک سوئیچ برای جاری شدن جریان در فاز مربوط، وقتی اعمال می‌شود که ولتاژ ضدمحرك آن فاز به مقدار نهایی خود رسیده باشد. حال اگر فرمان به سوئیچ کمی زودتر اعمال شود، مطابق رابطه (۲) که گشتاور برابر حاصل ضرب ولتاژ ضدمحرك در جریان آن فاز است، افزایش می‌یابد.

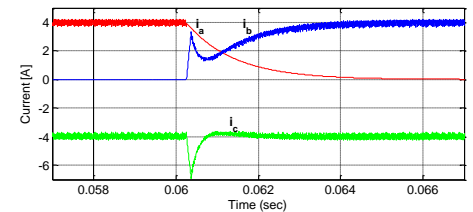
برای توجیه بهتر این موضوع بهتر است تا شکل موج‌های جریان و ولتاژ ضدمحرك در موتور BLDC مجدداً بررسی شوند. شکل (۱۷-الف) جریان و ولتاژ ضدمحرك یک موتور BLDC را در حالت ایده آل نمایش می‌دهد. اما تأخیر فاز ناشی از اندوکتانس استاتور سبب می‌شود تا جریان فاز همراه با تأخیر و با ثابت زمانی مشخصی به مقدار نهایی اش برسد که در شکل (۱۷-ب) نشان داده شده است. در سرعت‌های بالاتر، اثر تأخیر فاز ناشی از اندوکتانس استاتور بیشتر شده و جریان با تأخیر بیشتری به مقدار نهایی اش می‌رسد و درنتیجه سبب کاهش بیشتر گشتاور متوسط موتور می‌شود (شکل ۱۷-ج). برای افزایش متوسط گشتاور و غلبه بر تأخیر فاز اندوکتانس استاتور همان‌طور که در شکل (۱۷-د) نشان داده شده است، اگر جریان زودتر از زمان معمول جاری شود (به اندازه زاویه θ_a)، حالت گذراي جریان زودتر سپری شده و گشتاور متوسط افزایش می‌یابد [۵۴].

پیش‌فاز نمودن جریان نسبت به ولتاژ ضدمحرك در این روش، سبب تغییر زاویه بین بردار نیروهای محرکه مغناطیسی رotor و استاتور شده و بدلیل عکس‌العمل آرمیچر، شار در فاصله هوایی کاهش می‌یابد. به عبارتی یک نیروی ضدمغناطیسی سبب مغناطیس زدایی از آهن‌ربای دائم رotor می‌شود. لذا مقدار زاویه پیش‌فازی می‌باید به نحوی مناسب انتخاب شود تا مغناطیس زدایی در حد مقادیر توصیه شده توسط سازنده آهن‌ربای دائم رotor باشد [۵۴].

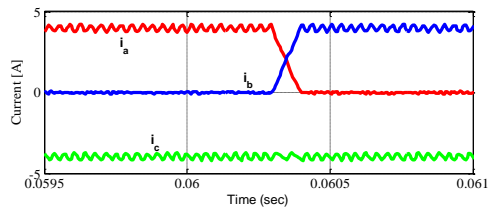
روش PAA علی‌رغم سادگی ایده‌اش دارای این نقص اساسی است که یک رابطه عمومی تحلیلی دقیق بین سرعت و مقدار زاویه پیش‌فازی متناظر با آن وجود ندارد و اغلب از روش‌های عددی و بهینه‌سازی استفاده می‌شود. درحالی که برای موتورهای ac سینوسی، روش معمول کاهش شار دقیقاً متناسب با عکس سرعت است [۵۵]. چند رابطه تحلیلی پیشنهادشده برای زاویه پیش‌فازی عبارت‌اند از:

$$\theta_a = \tan^{-1} \left(\frac{2\pi}{60} \times \frac{\omega L}{R} \right) \quad (10)$$

جریان فازها سبب شده است تا تغییرات جریان دو فاز دخیل در کمotaسیون همزمان صورت گیرد.



(الف) روش کنترل جریان لینک



(ب) روش کنترل مستقیم جریان فازها

شکل (۱۶): مقایسه پاسخ جریانی دو روش پرکاربرد کنترل موتور BLDC در طی بازه کمotaسیون

۸. کنترل موتور BLDC در ناحیه توان ثابت

استفاده از موتورهای BLDC به دلیل داشتن مزایای فراوان در کاربردهای تراکشن نیز افزایش یافته است. از طرف دیگر، موتور مورد استفاده در کاربردهای تراکشن نظیر خودروهای هیبرید برقی، باید قابلیت کار در بازه وسیعی از ناحیه بالای سرعت نامی موتور را دارا بوده و به عبارتی، ناحیه توان ثابت وسیعی داشته باشد [۵۳]. روش‌های کنترل موتور در ناحیه توان ثابت برای موتورهای DC القایی و سنکرون، به خوبی شناخته شده‌اند و در عمل نیز به کار گرفته می‌شوند. برای افزایش سرعت، گشتاور موتور باید به طور لحظه‌ای افزایش باید که در تمامی این موتورها با توجه به محدودن بودن ولتاژ موتور، شار موتور کاهش داده می‌شود. البته در موتور PMSM، کاهش شار با افزایش مؤلفه d جریان استاتور (i_{ds}) حاصل می‌شود. مقدار کاهش شار در تمامی انواع موتورهای فوق‌الذکر متناسب با عکس سرعت است؛ یعنی برای رسیدن به دو برابر سرعت نامی، شار موتور باید نصف شود. اما تغذیه و شکل موج‌های جریان در موتور BLDC ذوزنقه‌ای بوده و همانند موتورهای القایی و PMSM نمی‌توان شار را کاهش داد. البته برخی محققان ایده استفاده از دستگاه‌های qd0 پیشوندکی برای کنترل موتور BLDC در ناحیه توان ثابت و اعمال روش موتورهای با تغذیه سینوسی را مطرح کرده‌اند که دارای پیچیدگی و حجم محاسبات زیادی هستند [۲۴].

- درایور سوئیچ (بسته به نوع سوئیچ مورد استفاده)
- پل دیودی و خازن (ایجاد ولتاژ ثابت در لینک dc)
- منابع تغذیه ایزوله برای درایورهای سوئیچ‌ها

خوشبختانه با توجه به سادگی روش‌های کنترل موتور BLDC

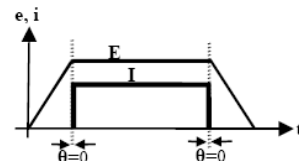
اغلب پردازنده‌ها از میکروکنترلرهای ارزان‌قیمت نظری AVR گرفته تا پردازنده‌های دیجیتالی سیگنال سریع یا DSP‌ها قابلیت پیاده‌سازی عملیات کنترلی حتی روش‌های بدون حسگر، روش‌های کاهش ضربان گشتاور و کار در ناحیه توان ثابت را دارا هستند. ازین‌رو اغلب سازندگان پردازنده‌ها، برای معرفی محصول‌هایشان، درایور موتور BLDC با پردازنده ساخت خود را پیاده‌سازی کرده و کل سخت‌افزار و کدهای برنامه‌نویسی را در اختیار عموم قرار داده‌اند. شرکت تگزاس اینسترومانت، چندین پیاده‌سازی با DSP‌های سری 2xxx خود را منتشر کرده است [۵۹ و ۶۰]. همچنین شرکت میکروچیپ، میکروهای سری dsPIC را برای این کار معرفی کرده است [۶۱]. شرکت Atmel چندین تراشه برای کنترل مخصوص موتور BLDC با حسگر و بدون حسگر طراحی و ساخته است [۲۶]. شرکت موتورولا هم با DSP این کار را انجام داده است [۶۲]. برای آشنایی با پیاده‌سازی توسط سایر میکروکنترلرهای به مراجع [۶۳ و ۶۴] رجوع شود.

در خصوص استفاده از حسگر جریان، علی‌رغم اینکه چندین مرجع، کنترل موتور BLDC را بدون استفاده از حسگر جریان پیشنهاد کرده‌اند، اما برای کاربردهای صنعتی جهت بالابردن قابلیت اطمینان و حفاظت موتور، استفاده از یک حسگر جریان حتماً توصیه می‌شود. تعداد حسگرهای جریان بسته به نوع روش کنترلی می‌تواند به دو یا سه افزایش یابد. حسگر جریان می‌تواند از نوع اثربال یا مقاومتی باشد. حسگرهای جریان اثربال هم در بازه وسیعی خطی بوده و هم اینکه ایزولاسیون بین مدار کنترل و قدرت (جدا بودن زمین‌های طرف سیگنال و قدرت) را انجام می‌دهند.

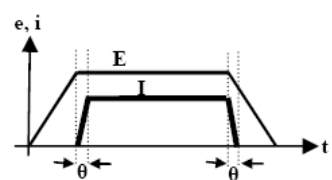
در درایو متعارف موتور BLDC برای کنترل سرعت موتور نیازی به استفاده از حسگر ولتاژ نبوده و استفاده از آن در درایو صرفاً برای حفاظت از خازن‌های لینک dc است؛ البته در صورت استفاده از روش‌های کنترل بدون حسگر، بسته به نوع روش حداقل یک حسگر ولتاژ مورد نیاز است. حسگر ولتاژ نیز می‌تواند از نوع اثربال باشد یا توسط مقسم‌های مقاومتی و مدارات اپتوكوپلری پیاده‌سازی شود. سوئیچ‌های به‌کاررفته در درایو موتور BLDC اغلب از نوع IGBT یا ماسفت قدرت بوده که در درایوهای ارزان‌قیمت، استفاده از ماسفت‌ها با توجه به قیمت پایین‌ترشان بیشتر است. امروزه در بازار ماثوله‌ای شش تایی ماسفت‌های قدرت و IGBT در دسترس بوده که کار با آن‌ها

$$\theta_a = \tan^{-1} \left(\frac{\omega LI}{K_e \omega + RI} \right) \quad (11)$$

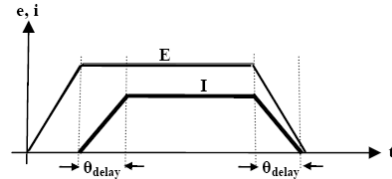
$$\theta_a = \frac{3\omega LI}{2V_{dc} - 3E} \quad (12)$$



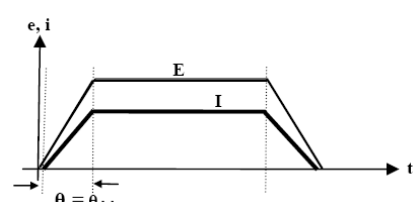
الف. حالت ایده‌آل



ب. حالت واقعی و در محدوده زیر سرعت نامی



ج. حالت واقعی و در سرعت‌های بالا



د. استفاده از روش کنترل زاویه پیش‌فازی

شکل (۱۷): ولتاژ ضدمحركه و جريان استاتور موتور BLDC

۹. پیاده‌سازی درایو موتور BLDC

همان‌طور که قبلاً اشاره شد، مزیت اصلی موتور BLDC، سهولت در کنترل آن است؛ یعنی هم سخت‌افزار ساده‌تری برای کنترل نیاز دارد و هم برنامه‌های کنترلی آن به سادگی قابل پیاده‌سازی هستند. ملزومات پیاده‌سازی درایو موتور BLDC چیزی بیش از ملزومات درایو موتور DC نیست. سخت‌افزار موردنیاز برای پیاده‌سازی درایو موتور BLDC شامل موارد زیر هستند:

- پردازنده (میکروکنترلر یا DSP)
- حسگر جریان (حداقل یک عدد)
- حسگر ولتاژ (در صورت استفاده از روش‌های پیش‌رفته)
- سوئیچ‌ها یا ماثول سوئیچ (IGBT یا MOSFET قدرت)

مؤثر و کم‌هزینه است. اینورترهای مختلفی برای کنترل موتور BLDC پیشنهاد شده‌اند که با توجه به قیمت پایین ادوات نیمه‌هادی در مقایسه با قیمت موتور و بهره‌گیری از میکروکنترلرهای جدید و پیشرفته و برای بهره‌برداری از ظرفیت کامل موتور، اینورتر شش سوئیچه بر تمام دیگر انواع اینورترها برتری دارد. درباره استفاده از روش‌های کنترل بدون حسگر در این موتورها، شاید جایگزینی سه حسگر موقعیت اثر هال ارزان‌قیمت با روش‌های بدون حسگر چندان صرفه اقتصادی نداشته باشد، اما استفاده از روش بدون حسگر در بعضی کاربردها و همچنین وجود این روش‌ها در کنار حسگرهای فیزیکی قابلیت اطمینان درایو را بالا می‌برد. روش‌های بر مبنای اندازه‌گیری ولتاژ ترمیнал خط به خط بدون نیاز به جابجایی فاز هم به محاسبات کمتری نیازمند بوده و هم پیاده‌سازی ساده‌ای دارند. همچنین استفاده از روش ساده و ارزان‌قیمت کنترل مستقیم جریان فازها مؤثرترین و ساده‌ترین روش کاهش ضربان گشتاور ناشی از کمتواسیون در درایو موتور BLDC است. روش کنترل زاویه‌پیش‌فازی نیز برای کار موتور در سرعت‌های بالا و همچنین کاهش ضربان گشتاور، علی‌رغم مشکلات روش‌های موجود مناسب‌ترین روش بوده و به نظر می‌رسد جای کار بیشتر در این زمینه وجود دارد.

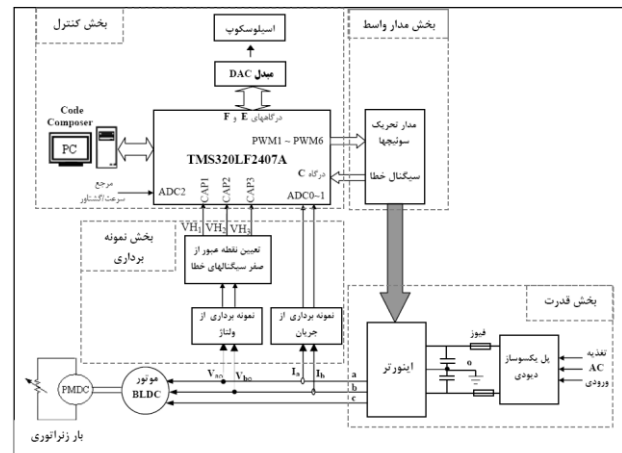
پیوست

جدول (۲): پارامترهای موتور BLDC مورد استفاده در شبیه‌سازی

مقدار	پارامتر	مقدار	پارامتر
$P_n = 1.5 \text{ [kW]}$	توان نامی	$\omega_n = 1000 \text{ [rpm]}$	سرعت نامی
$L_s = 0.8 \text{ [mH]}$	اندوکتانس خودی	$M = 0.1 \text{ [mH]}$	اندوکتانس متقابل
$R = 0.2 \text{ [\Omega]}$	مقاومت فاز	$0.15 \text{ [V/(rad/sec)]}$	ثابت ولتاژ (K_v)
$Z = 12$	تعداد قطب‌ها	$V_{dc} = 250 \text{ [V]}$	ولتاژ لینک
$J = 0.015 \text{ [N.m/s}^2\text{]}$	مان انترسی	$T_i = 15 \text{ [N.m]}$	گشتاور بار نامی

بسیار راحت‌تر از گذشته شده است. برای ایزولاسیون بین پردازنده و مدار قدرت و تقویت سیگنال‌های فرمان پردازنده، باید از درایورهای مناسب نیز استفاده کرد. برای ایجاد ولتاژ لینک dc می‌توان از پل دیودی تک‌فاز یا سه‌فاز همراه با خازن به عنوان فیلتر استفاده کرد یا با تری با سطح ولتاژ مناسب به کار گرفت. نکته مهم دیگر در پیاده‌سازی درایو، لزوم مجزا بودن زمین‌های گیت سه سوئیچ بالایی اینورتر از یکدیگر و همچنین از زمین مشترک سیگنال‌های گیت‌های سوئیچ‌های پایینی اینورتر است.

شکل (۱۸) یک نمونه طرح از پیاده‌سازی درایو بدون حسگر موتور BLDC با استفاده از پردازنده DSP^۱ TMS320LF2407A سری DSP ساخت شرکت تگزاس اینسترومنت را نشان می‌دهد. استفاده از ها قابلیت‌های کنترلی فراوانی در اختیار برنامه‌نویس قرار می‌دهد. همچنین پروتکل‌های ارتباطی آنها برای ارتباط با کاربر و مدارات جانبی دیگر، بسیار متنوع بوده و کار کنترل و مانیتورینگ درایو را بسیار آسان می‌کنند. در این مدار سیگنال‌های موقعیت اثرهال به ورودی‌های CAP داده می‌شوند. فیدبک‌های جریان و فرمان سرعت نیز به مبدل A/D پردازنده وارد می‌شوند.



شکل (۱۸): شماتیک پیاده‌سازی درایو بدون حسگر موتور BLDC با

پردازنده DSP سری TMS320LF2407A [۶۵,۳]

۱۰. نتیجه‌گیری

در این مقاله، به معرفی و بررسی جنبه‌های مختلف موتورهای BLDC و بیان آخرین پیشرفت‌های صورت‌گرفته در این موتورها پرداخته شده است. برای کنترل سرعت موتور، روش کنترل مستقیم جریان فازها دارای بهترین عملکرد در بین تمامی روش‌های پیشنهادی است. استفاده از ایده روش کنترل تک‌سیکلی نیز برای موتور BLDC بسیار

مراجع

- [1] Kusko, A., Peeran, S. M., "Definition of the Brushless Dc Motor", IEEE Industry Applications Conference (IAS), pp. 20-22, 1988.
- [2] Krishnan, R., "Permanent-Magnet Synchronous and Brushless DC Motor Drives", John-Wiley Press, 2002.
- [۳] حلوایی نیاسر، ابوالفضل، طراحی و پیاده‌سازی درایو الکتریکی بدون حسگر موقعیت موتور BLDC با اینورتر کاوش ساختار یافته، رساله دکتری، دانشگاه علم و صنعت ایران، خرداد ۱۳۸۷.
- [4] Natarajan, S.P., Chellamuthu, C., Karki, B., Kumar, C.A., "Simulation and Performance Evaluation of Permanent Magnet Brushless DC Motor Using Saber Package", Workshop on Computers in Power Electronics (COMPEL), pp. 235–2420, 2000.
- [5] Lee, B.K., Ehsani, M., "A Simplified Functional Model for 3-Phase Voltage-Source Inverter Using Switching Function Concept", IEEE Industrial Electronics Conf., pp. 462-467, 1999.
- [6] Bonvin, F., Perriard, Y., "BLDC Motor Control in Multiple Dq Axes", IEE Power Electronics and Variable Speed Drives Conf., pp. 500-505, 2000.
- [7] Chapman, P.L., Sudhoff, S.D., Whitcomb, C.A., "Multiple Reference Frame Analysis of Non-Sinusoidal Brushless DC Drives", IEEE Trans. on Energy Conversion, Vol. 14, No. 3, pp. 440 – 446, Sept. 1999.
- [8] Halvaei Niasar, A., Moghbelli, H., Vahedi, A., "Modeling and Simulation Methods for Brushless DC Motor Drives", International Conf. on Modeling, Simulation and Applied Optimization (ICMSAO), pp.05-38/05-176, 2005.
- [9] Krishnan, R., Lee, Sh., "PM Brushless DC Motor Drive with a New Power-converter Topology", IEEE Trans. on Industry Applications, Vol. 33, No. 4, pp. 973-982, July/August 1997.
- [10] Gopalarathnam, T., Toliyat, H. A., "A New Topology for Unipolar Brushless Dc Motor Drive with High Power Factor", IEEE Trans. on Power Electronics, Vol. 18, No. 6, pp. 1397-1404, Nov. 2003.
- [11] Lee, B.S., Krishnan, R., "A Variable Voltage Converter Topology for Permanent-Magnet Brushless Dc Motor Drives Using Buck-Boost", IEEE International Symposium on Industrial Electronics (ISIE), pp.689-694, 1999
- [12] Lee, B.K., Kim, T.H., Ehsani, M., "On The Feasibility Of Four-Switch Three-Phase BLDC Motor Drives for Low Cost Commercial Applications: Topology and Control", IEEE Trans. on Power Electronics, Vol. 18, No. 1, pp. 164-172, January 2003.
- [13] Carlson, R., Mazenc, M.L., Dos, J.C., "Analysis of Torque Ripple Due to Phase Commutation in Brushless DC Machines", IEEE Trans. on Industry Applications, Vol. 28, No. 3, pp. 632-638, May/June 1992.
- [14] ABB Technical Note: *Motor Control with DTC*, TD1 EN Rev. B, 2007
- [15] http://www.abb.com/product/ap/seitp322/dc47706b_5b2eabd4c125748a003ac770.aspx
- [16] Ozturk, S.B., Toliyat, H.A., "Direct Torque and Indirect Flux Control of Brushless DC Motor", IEEE/ASME Trans. on Mechatronics, Vol. 16, No. 2, pp. 351-360, 2011.
- [17] Ho, T.Y., Chen, M.S., Lin, J.S., Chen, P.H., "The Design and Implementation of the BLDC Motor Drive for a Washing Machine", IEEE Global Conf. on Consumer Electronics (GCCE), pp. 156-157, 2012.
- [18] Feyzi, M.R., Shafiei, M., Bahrami Kouhshahi, M., "Position Sensorless Direct Torque Control of Brushless DC Motor Drives Based on Sliding Mode Observer Using NSGA-II Algorithm Optimization", 2nd IEEE Power Electronics, Drive Systems and Technologies Conf. (PEDSTC), pp. 151-156, 2011.
- [19] Arab Markadeh, G.R., Mousavi, S.I., Abazari, S., Kargar, A., "Position Sensorless Direct Torque Control of BLDC Motor", IEEE International Conf. on Industrial Technology, pp. 1-6, 2008.
- [20] Heidari, R., Markadeh, G A., Abazari, S., "Direct Torque and Indirect Flux Control of Brushless DC Motor with Non-Sinusoidal Back-EMF without Position Sensor", 19th Iranian Conf. on Electrical Engineering (ICEE), pp. 1-5, 2011.
- [21] Vas, P., "Sensorless Vector and Direct Torque Control", Oxford University Press, 1998.
- [22] Kai-Sheng Kan, K., Ying-Yu Tzou, T., "Adaptive Soft Starting Method with Current Limit Strategy for Sensorless BLDC Motors", IEEE International Symposium on Industrial Electronics (ISIE), pp. 605-

- 610, 2012.
- [23] Grenier, D., Dessaint, L.A., "A Park-like Transformation for the Study and the Control of a Non-Sinusoidal Brushless DC Motor", IEEE Industrial Electronics, Control, and Instrumentation (IECON), pp. 837-843, 1995.
- [24] Lei, H., Toliyat, H.A., "BLDC Motor Full Speed Range Operation Including the Flux-Weakening Region", IEEE Industry Applications Conf., Vol. 1, pp. 618-624, 2003.
- [25] Acarnley, P.P., Watson, J.F., "Review of Position-Sensorless Operation of Brushless Permanent-Magnet Machines", IEEE Trans. on Industrial Electronics, Vol. 53, No. 2, pp. 352-362, April 2006.
- [26] MC33035, NCV33035 Brushless DC Motor Controller, Semiconductor Components Industries, Publication order number: MC33035/D, April 2004, Rev. 7.
<http://onsemi.com>.
- [27] Kim, T., Lee, H.W., Ehsani, M., "Position Sensorless Brushless DC Motor/Generator Drives: Review and Future Trends", IET Electric Power Applications, Vol. 4, No. 2, pp. 557-564, April 2007.
- [28] Shao, J., Nolan, D., Hopkins, T., "A Novel Direct Back EMF Detection for Sensorless Brushless DC (BLDC) Motor Drives", IEEE Applied Power Electronics Conference and Exposition (APEC), Vol. 1, pp. 33 –37, 2002.
- [29] Grainger, S., Allan, M., Westwood, T., Champaneri, R., "Sensorless Control of a Trapezoidal Brushless DC Motor Using the TMS320C25 DSP", Texas Instruments Report: SPRA323, ESIEE, Paris, September 1996.
- [30] Park, J.Y., Lieu, D.K., "Position Detection of Brushless DC Motor Using Inductance Bridge System", IEEE Trans. on Magnetics, Vol. 39, No. 5, pp. 3310-3312, September 2003.
- [31] Terzic, B., Jadric, M., "Design and Implementation of the Extended Kalman Filter for the Speed and Rotor Position Estimation of Brushless DC Motor", IEEE Trans. on Industrial Electronics, Vol. 48, No. 6, pp. 1065 –1073, Dec. 2001.
- [32] Park, B.G., Kim, T.S., Ryu, J.S., Hyun, D.S., "Fuzzy Back-EMF Observer for Improving Performance of Sensorless Brushless DC Motor Drive", Proceedings of the IEEE Applied Power Electronics Conf. and Exposition (APEC), 2006.
- [33] Halvaei Niasar, A., Vahedi, A., Moghbelli, H., "Sensorless Control of Four-Switch, Brushless DC Motor Drive without Phase Shifter", IEEE Trans. on Power Electronics, Vol. 23, No. 6, pp. 3079-3087, November 2008.
- [34] Chen, C.H., Cheng, M.Y., "A New Cost Effective Sensorless Commutation Method for Brushless DC Motors Without Phase Shift Circuit and Neutral Voltage", IEEE Trans. on Power Electronics, Vol. 22, No. 2, pp. 644-653, March 2007.
- [35] Shen, J.X., Zhu, Z.Q., Howe, D., "Practical Issues in Sensorless Control of PM Brushless Machines Using Third-Harmonic Back-EMF", Proceedings of the IEEE International Power Electronics and Motion Control Conference (IPEMC), Vol. 2, pp. 1-5, 2006.
- [36] Ogasawara, S., Akagi, H., "An Approach to Position Sensorless Drive for Brushless DC Motors", IEEE Trans. on Industry Applications, Vol. 27, No. 5, pp. 928 –933, 2001.
- [37] Becerra, R.C., Jahns, T.M., Ehsani, M., "Four-Quadrant Sensorless Brushless ECM Drive", IEEE Applied Power Electronics Conference (APEC), pp. 202-209, 1991.
- [38] Kim, T.H., Ehsani, M., "Sensorless Control of the BLDC Motors from Near-Zero to High Speeds", IEEE Trans. on Power Electronics, Vol. 19, No. 6, pp. 1635-1645, November 2004.
- [39] Shao, J., "An Improved Microcontroller-based Sensorless Brushless DC (BLDC) Motor Drive for Automotive Applications", IEEE Industry Applications Society Conf. (IAS), Vol. 4, pp. 2512-2517, 2005.
- [40] Doo-Hee, J., In-Joong, H., "Low-Cost Sensorless Control of Brushless DC Motors Using a Frequency-independent Phase Shifter", IEEE Trans. on Power Electronics, Vol. 15, No. 4, pp. 744 –752, July 2000.
- [41] Zhang, L., Xiao, W., Qu, W., "Sensorless Control of BLDC Motors Using an Improved Low-Cost Back EMF Detection Method", IEEE Power Electronics Specialists Conference (PESC), pp. 1828-1834, 2006.
- [42] Parasiliti, F., Petrella, R., Tursini, M., "Initial Rotor Position Estimation Method for PM Motors", IEEE Industry Applications Society Conference (IAS), Vol. 2, pp. 1190 –1197, 2000.
- [43] Ludovic, S., Sámi, S., "Brushless DC Motor

- Control Without Mechanical Sensors", IEEE Power Electronics Specialists Conf. (PESC), pp. 375-381, 1996.*
- [44] Ho, S.L., Fei, M.R., Cheng, K.W.E., Wong, H.C., "An Auto-Tuning Algorithm for the IRBF Network of Brushless DC Motor", IEEE Trans. on Magnetics, Vol. 40, No. 2, pp. 1168-1171, March 2004.
- [45] Jang, G.H., Park, J.H., Chang, J.H., "Position Detection and Start-up Algorithm of a Rotor in a Sensorless BLDC Motor Utilizing Inductance Variation", IEE Proceedings of Electric Power Applications, Vol. 149, No.2, pp. 137-142, 2002.
- [46] Krishnan, R., Ghosh, R., "Starting algorithm and Performance of a PM DC Brushless Motor Drive System with no Position Sensor", IEEE Power Electronics Specialists Conference (PESC), pp. 815-821, 1989.
- [47] Jahns, T.M., Soong, W.L., "Pulsating Torque Minimization Techniques for Permanent Magnet AC Motor Drives---A Review", IEEE Trans. on Industrial Electronics, Vol. 43, No. 2, pp. 321-330, April 1996.
- [48] Gieras, J.F., Wing, M., "Permanent Magnet Motor Technology: Design and Applications"; Marcel Dekker Inc., 2002.
- [49] Yong, L., Zhu, Z.Q., Howe, D., "Commutation-Torque-Ripple Minimization in Direct-Torque-Controlled PM Brushless DC Drives", IEEE Trans. on Industry Applications Vol. 43, Issue: 4, pp. 1012-1021, 2007.
- [50] Kim, T.S., Ahn, S.C., Hyun, D.S., "A New Current Control Algorithm for Torque Ripple Reduction of BLDC Motors", Proceedings of the IEEE Industrial Electronics Society (IECON), pp.1521-1526, 2001.
- [51] Halvaei Niasar, A., Moghbelli, H., Vahedi, A., "Commutation Torque Ripple of Four-Switch Brushless DC Motor Drives_Part I: Analysis", IEEE International Workshop on Advanced Motion Control (AMC), pp. 541-546, 2006.
- [52] Song, J.H., Choy, I., "Commutation Torque Ripple Reduction in Brushless DC Motor Drives Using a Single DC Current Sensor", IEEE Trans. on Power Electronics, Vol. 19, No. 2, March 2004, pp. 312-319.
- [53] Miller, J.M., "Power Electronics in Hybrid Electric Vehicle Applications", IEEE Applied Power Electronics Conference and Exposition, APEC '03, pp. 23-29, 2003.
- [54] Park, S.I., Kim, T.S., Ahn, S.C., Hyun, D.S., "An Improved Current Control Method for Torque Improvement of High-Speed BLDC Motor", IEEE Applied Power Electronics Conference and Exposition, Vol. 1, pp. 294-299, 2003.
- [55] Zhu, Z.Q., Shen, J.X., Howe, D., "Flux-Weakening Characteristics of Trapezoidal Back-EMF Machines in Brushless DC and AC Modes", IEEE International Power Electronics and Motion Control Conf. (IPEMC), Vol. 2, pp.1-5, 2006.
- [56] Safi, S.K. Acarnley, P.P., Jack, A.G., "Analysis and Simulation of the High-Speed Torque Performance of Brushless DC Motor Drives", IEE Proceedings of Electric Power Applications, Vol. 142, pp. 191 – 200, May 1995.
- [57] Wu, H.X., Cheng, S.K., Cui, S.M., "A Controller of Brushless DC Motor for Electric Vehicle", IEEE Trans. on Magnetics, Vol. 41, No. 1, pp. 519-513, January 2005.
- [58] Gu, B.G., Park, J.S., Choi, J.H., Rhyu, S.H., Jung, I.S., "Optimal Lead Angle Calculation for Brushless DC Motor", IEEE International Power Electronics Conf., pp. 1416-1420, 2010.
- [59] Texas Instruments, "Implementation of a Speed Controlled Brushless DC Drive Using TMS320F240", Literature Number: BPRA064, 1997.
- [60] Texas Instruments, "Implementation of a Sensorless Speed Controlled Brushless DC drive using TMS320F240", Literature Number: BPRA072, 1997.
- [61] Microchip, "Brushless DC Motor Fundamentals", Application Notes AN885, AN901, AN1160.
- [62] Motorola Semiconductor, "Sensorless Brushless dc Motor Using the MC68HC908MR32 Embedded Motion Control Development System", Application Note AN1858, 2000.
- [63] Freescale Semiconductor, "3-Phase BLDC Motor Control with Sensorless Back EMF Zero Crossing Detection Using 56F80x", AN1914, Rev. 1, 11/2005.
- [64] RENESAS, "H8/300H Brushless DC Motor Control Reference Platform", Application Note 139/1.0, September 2003.
- [65] Halvaei Niasar, A., Vahedi, A., Moghbelli, H.,

"Design and Implementation of Sensorless Control
for Four-Switch, Three-Phase Brushless DC Motor
Drive based on DSP Technology", Iranian Journal

of Electrical and Computer Engineering (IJECE), ,
Vol. 8, No. 1, pp. 1-8, Winter 2009.